

Сомов Е.И., Старина О.Л., Бутырин С.А.

**ПРОСТРАНСТВЕННОЕ ДВИЖЕНИЕ СПУТНИКА ЗЕМЛЕОБЗОРА ПРИ  
ЦИФРОВОМ И ШИРОТНО-ИМПУЛЬСНОМ УПРАВЛЕНИИ  
ГИРОДИНАМИ, МАГНИТНЫМ ПРИВОДОМ  
И ЭЛЕКТРОРЕАКТИВНЫМИ ДВИГАТЕЛЯМИ**

**Введение.** Разнообразные возмущающие факторы обуславливают необходимость коррекции движения спутника землеобзора при длительном сроке его активного существования. В системе управления движением (СУД) космического аппарата (КА) применяются бесплатформенная инерциальная навигационная система (БИНС) с коррекцией сигналами от звездных датчиков и спутников GPS/ГЛОНАСС; минимально-избыточный кластер гиродинов (ГД) с цифровым управлением; магнитный привод (МП) и корректирующая двигательная установка (КДУ) с 8 электрореактивными двигателями (ЭРД). В статье рассматриваются следующие задачи: (i) разработка метода управления КДУ для удержания КА на солнечно-синхронной орбите (ССО); (ii) синтез алгоритмов широтно-импульсного управления КДУ и МП; (iii) разработка алгоритмов цифрового управления кластером ГД; (iv) анализ динамики СУД КА землеобзора с разработанными алгоритмами управления.

**Математические модели.** Используются стандартные системы координат (СК) – инерциальная (ИСК) и геодезическая гринвичская (ГСК) с началом в центре Земли, орбитальная (ОСК  $Ox^o y^o z^o$ ) и связанная с КА (ССК  $Ox y z$ ) системы координат с началом в полюсе  $O$  вблизи его центру масс (ЦМ)  $C$ . Далее применяются обозначения  $\text{col}(\cdot) = \{\cdot\}$ ,  $\text{line}(\cdot) = [\cdot]$ ,  $(\cdot)^t$ ,  $[\mathbf{a} \times]$  и  $\circ, \sim$  для векторов, матриц и кватернионов. Вводятся кватернион  $\Lambda^o$  и углы ориентации ССК относительно ОСК по крену  $\phi_1$ , рысканию  $\phi_2$  и тангажу  $\phi_3$ , которые используются в последовательности 312 при индексах осей  $i = 1, 2, 3 \equiv 1 \div 3 = x, y, z$ . Кватернион  $\Lambda = (\lambda_0, \boldsymbol{\lambda})$  ориентации КА в ИСК представляется как  $\Lambda = \Lambda_o \circ \Lambda^o$ , где  $\Lambda_o$  – кватернион ориентации ОСК в ИСК. Вектор модифицированных параметров Родрига (МПП)  $\boldsymbol{\sigma} = \{\sigma_i\} = \mathbf{e} \text{tg}(\Phi/4)$  с ортом Эйлера  $\mathbf{e}$  и углом  $\Phi$  взаимно-однозначно связан с  $\Lambda$  соотношениями  $\boldsymbol{\sigma} = \boldsymbol{\lambda}/(1 + \lambda_0)$  и  $\lambda_0 = (1 - \sigma^2)/(1 + \sigma^2)$ ,  $\boldsymbol{\lambda} = 2\boldsymbol{\sigma}/(1 + \sigma^2)$ , при векторе угловой скорости  $\boldsymbol{\omega}$  кинематические уравнения имеют вид  $\dot{\Lambda} = \Lambda \circ \boldsymbol{\omega}/2$ ;  $\dot{\boldsymbol{\sigma}} = (1 - \sigma^2)\boldsymbol{\omega}/4 + (\boldsymbol{\sigma} \times \boldsymbol{\omega})/2 + \boldsymbol{\sigma} \langle \boldsymbol{\sigma}, \boldsymbol{\omega} \rangle / 2$ . Если  $\Lambda^p(t)$ ,  $\boldsymbol{\sigma}^p(t)$  и  $\boldsymbol{\omega}^p(t)$

представляют закон наведения КА, то кватернион  $\mathbf{E}$  рассогласования между  $\Lambda^p(t)$  и  $\Lambda(t)$  имеет вид  $\mathbf{E}(t) \equiv (\mathbf{e}_0(t), \mathbf{e}(t)) = \tilde{\Lambda}^p(t) \circ \Lambda(t)$ , погрешности ориентации представляются столбцом  $\delta\boldsymbol{\phi} = \{\delta\phi_i\} = 2\mathbf{e}_0\mathbf{e}$  и матрицей  $\mathbf{C}_e = \mathbf{I}_3 - 2[\mathbf{e}\times]\mathbf{Q}_e^t$ , где  $\mathbf{Q}_e = \mathbf{I}_3\mathbf{e}_0 + [\mathbf{e}\times]$ , а вектор рассогласования скорости  $\delta\boldsymbol{\omega}(t) = \{\delta\omega_i\} = \boldsymbol{\omega}(t) - \mathbf{C}_e\boldsymbol{\omega}^p(t)$ .

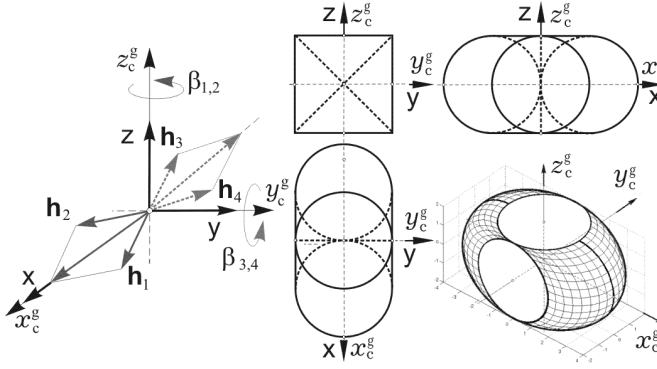


Рисунок 1 – Схема 2-SPE кластера  
четырёх ГД

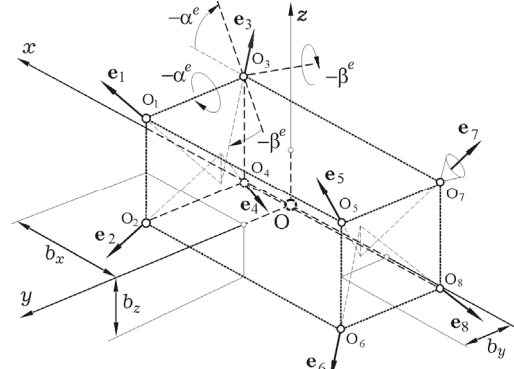


Рисунок 2 – Схема КДУ на основе  
восьми ЭРД

Модели минимально-избыточного кластера четырёх ГД (рисунок 1) с одинаковым собственным кинетическим моментом (КМ)  $h_g$  и цифровым управлением, КДУ на основе 8 ЭРД (рисунок 2) и МП с широтно-импульсным управлением, а также модель пространственного движения КА с подвижными панелями солнечных батарей (СБ) представлены в [1, 2], и поэтому приводятся без детализации обозначений.

Классическая схема 2-SPE (2 Scissored Pair Ensemble) содержит две пары ГД, (рисунок 1), где используются канонический гироскопический базис  $Ox_c^g y_c^g z_c^g$ . При отсчёте углов поворота всех ГД от положительного направления оси  $Ox_c^g$  вектор нормированного управляющего момента кластера  $\mathbf{M}^g(\boldsymbol{\beta}) = \mathbf{A}_h(\boldsymbol{\beta}) \cdot \dot{\boldsymbol{\beta}}$ , где  $\boldsymbol{\beta} = \{\beta_p\}$  и при  $\mathbf{h} = \Sigma \mathbf{h}_p$

$$\mathbf{A}_h(\boldsymbol{\beta}) = \frac{\partial \mathbf{h}}{\partial \boldsymbol{\beta}} = \begin{bmatrix} -y_1 & -y_2 & -z_3 & -z_4 \\ x_1 & x_2 & 0 & 0 \\ 0 & 0 & -x_3 & -x_4 \end{bmatrix}; \quad \begin{aligned} x_p &= C_{\beta_p}, p = 1 \div 4; \\ y_p &= S_{\beta_p}, p = 1, 2; \\ z_p &= S_{\beta_p}, p = 3, 4 \end{aligned}$$

и  $S_\alpha \equiv \sin \alpha$ ;  $C_\alpha \equiv \cos \alpha$ . При обозначениях  $x = x_{12} + x_{34}$ ;  $x_{12} = x_1 + x_2$ ;  $x_{34} = x_3 + x_4$ ;  $y = y_1 + y_2$ ;  $z = -(z_1 + z_2)$  и  $q_s \equiv (4 - s^2)^{1/2}$ ,  $s = y, z$ ;  $\tilde{x}_{12} = x_{12}/q_y$ ;  $\tilde{x}_{34} = x_{34}/q_z$  введем нормированную функцию распределения суммарного КМ кластера между парами ГД  $f_\rho(\boldsymbol{\beta}) \equiv \tilde{x}_{12} - \tilde{x}_{34} + \rho(\tilde{x}_{12}\tilde{x}_{34} - 1) = 0$  с фиксированным параметром  $\rho$ ,  $0 < \rho < 1$ . Явное

аналитическое распределение трехмерного вектора  $\mathbf{M}^g$  управляющего момента кластера между 4 ГД выполняется по соотношениям  $\mathbf{A}_h(\boldsymbol{\beta}) \dot{\boldsymbol{\beta}} = \mathbf{M}^g / h_g \equiv \mathbf{m}^g$ ;  $\mathbf{a}_f^t(\mathbf{h}(\boldsymbol{\beta})) \dot{\boldsymbol{\beta}} = \Phi_\rho(f_\rho(\boldsymbol{\beta}), \mathbf{h}(\boldsymbol{\beta}))$ , где скалярная функция  $\Phi_\rho(0, \mathbf{h}(\boldsymbol{\beta})) = 0$  и вектор-столбец  $\mathbf{a}_f(\mathbf{h}(\boldsymbol{\beta})) \equiv \partial f_\rho(\boldsymbol{\beta}) / \partial \boldsymbol{\beta}$ . Для моделирования цифрового управления ГД с периодом  $T_u$  используются функции фиксации сигнала  $x_k(t) = \text{Zh}(t_k, T_u, x_k) = x_k \quad \forall t \in [t_k, t_{k+1})$  и квантования по уровню  $y = \text{Qntr}(a, x) = a E[x/a + 0.5 \cdot \text{Sign}x]$ , где  $k \in \mathbb{N}_0 \equiv \{0, 1, 2, 3, \dots\}$  и  $E[\cdot]$  – символ целой части. Цифровое управление кластером ГД описывается моделью  $\mathbf{u}_{pk}^g = \text{Sat}(\dot{\boldsymbol{\beta}}^m, \text{Qntr}(\dot{\boldsymbol{\beta}}_0, \mathbf{v}_{pk}))$ ;  $\mathbf{u}_{pk}^g(t) = \text{Zh}(t_k, T_u, \mathbf{u}_{pk}^g) = \mathbf{u}_{pk}^g \quad \forall t \in [t_k, t_{k+1})$ ;  $\dot{\boldsymbol{\beta}} = \mathbf{u}_k^g(t) = \{\mathbf{u}_{pk}^g(t)\}$ , где  $\dot{\boldsymbol{\beta}}^m$  представляет максимальную скорость поворота каждого ГД относительно оси его подвеса на корпусе КА,  $\dot{\boldsymbol{\beta}}_0$  – шаг дискретизации скорости вращения ГД по уровню, а вектор-столбец  $\mathbf{v}_k = \{\mathbf{v}_{pk}\}$  – решение системы уравнений  $\mathbf{A}_h(\boldsymbol{\beta}_k) \mathbf{v}_k = \mathbf{m}_k^g \equiv \mathbf{M}_k^g / h_g$ ;  $\mathbf{a}_\rho^t(\mathbf{h}(\boldsymbol{\beta}_k)) \mathbf{v}_k = \Phi_\rho(f_\rho(\boldsymbol{\beta}_k), \mathbf{h}(\boldsymbol{\beta}_k))$  при известном векторе управляющего момента  $\mathbf{M}_k^g$ , который является выходом дискретного алгоритма управления ориентацией КА.

Каждый ЭРД имеет широтно-импульсную модуляцию (ШИМ) тяги  $p_p(t)$ ,  $p = 1 \div 8$ , что описывается соотношением  $p_p(t) = P^m \text{PWM}(t - T_{zu}^e, t_r, \tau_m, \mathbf{v}_{pr}) \quad \forall t \in [t_r, t_{r+1})$  с периодом  $T_u^e$  и запаздыванием  $T_{zu}^e$ ,  $t_{r+1} = t_r + T_u^e$ ;  $r \in \mathbb{N}_0$ , где  $P^m$  – номинальное значение тяги, одинаковое для всех ЭРД в составе КДУ. Пусть  $\boldsymbol{\rho}_p$  определяет вектор точки  $O_p$  приложения вектора тяги  $p$ -го ЭРД, в ССК и орты  $\mathbf{e}_p$ ,  $p = 1 \div 8$  направлены по осям сопел ЭРД. Тогда в ССК вектор тяги  $p$ -го ЭРД вычисляется по формуле  $\mathbf{P}_p(t) = -p_p(t) \mathbf{e}_p$ , а векторы силы  $\mathbf{R}^e$  и момента  $\mathbf{M}^e$  КДУ в полюсе  $O$  – по формулам  $\mathbf{R}^e = \sum \mathbf{P}_p(t)$  и  $\mathbf{M}^e = \{m_i^e\} = \sum [\boldsymbol{\rho}_p \times] \mathbf{P}_p(t)$ . Вектор момента МП  $\mathbf{M}^m = \{m_i^m\} = -\mathbf{L}^m \times \mathbf{V}$ , где вектор электромагнитного момента  $\mathbf{L}^m = \{l_i^m\}$  с компонентами  $|l_i^m| \leq 1^m$  и вектор индукции магнитного поля Земли  $\mathbf{V} = \mathbf{b}V$  с ортом  $\mathbf{b}$  определены в ССК. Управление МП выполняется также с помощью ШИМ момента  $\mathbf{L}^m$ , но с периодом  $T_u^m$  и запаздыванием  $T_{zu}^m$ .

Динамика пространственного движения КА описывается соотношением

$$\begin{bmatrix} m \mathbf{I}_3 & -[\mathbf{L}\times] & \mathbf{M}_q \\ [\mathbf{L}\times] & \mathbf{J} & \mathbf{D}_q \\ \mathbf{M}_q^t & \mathbf{D}_q^t & \mathbf{A}^q \end{bmatrix} \begin{bmatrix} \dot{\mathbf{v}} \\ \dot{\boldsymbol{\omega}} \\ \dot{\mathbf{q}} \end{bmatrix} = \begin{bmatrix} \boldsymbol{\omega} \times (\mathbf{L} \times \boldsymbol{\omega} - 2\dot{\mathbf{L}}) + \mathbf{R} \\ -\boldsymbol{\omega} \times \mathbf{G} + \mathbf{M}_\omega^p + \mathbf{M}^g + \mathbf{M} \\ -\mathbf{A}^q (\mathbf{V}_q \dot{\mathbf{q}} + \mathbf{W}_q \mathbf{q}) + \mathbf{M}_q^p \end{bmatrix}. \quad (1)$$

Здесь  $\dot{\mathbf{v}} = \dot{\mathbf{v}}^* + \boldsymbol{\omega} \times \mathbf{v}$ , где  $(\cdot)^*$  – символ локальной производной по времени;  $\mathbf{q}$  – столбец обобщенных координат упругих перемещений конструкции панелей СБ,  $\mathbf{M}_q$  и  $\mathbf{D}_q$  – матрицы влияния упругих перемещений СБ на движение КА,  $\mathbf{A}^q$ ,  $\mathbf{V}_q$  и  $\mathbf{W}_q$  – матрицы обобщенных масс, демпфирования и нормированной жесткости конструкции СБ;  $\mathbf{G} = \mathbf{G}^o + \mathbf{D}_q \dot{\mathbf{q}}$ ,  $\mathbf{G}^o = \mathbf{K} + \mathbf{H}$ ;  $\mathbf{K} = \mathbf{J} \boldsymbol{\omega}$ ;  $\mathbf{H} = h_g \mathbf{h}$ ;  $\mathbf{L} = \mathbf{M}_q \mathbf{q}$ ;  $\mathbf{M}_\omega^p$  и  $\mathbf{M}_q^p$  – векторы моментов, обусловленных угловым перемещением панелей СБ;  $\mathbf{R} = \mathbf{R}^g + \mathbf{R}^s + \mathbf{R}^e$  и  $\mathbf{M} = \mathbf{M}^{gr} + \mathbf{M}^s + \mathbf{M}^e + \mathbf{M}^m$  – векторы внешних сил и моментов, обусловленных гравитационным (индекс gr) влиянием Земли, Луны и Солнца, влиянием сил солнечного давления (ССД, индекс s), работой КДУ (индекс e) и магнитного привода (индекс m).

Измерение углового положения КА выполняется БИНС в моменты времени  $t_s = s T_q$ ,  $s \in N_0$  с периодом  $T_q \leq T_u$ , кратным периоду  $T_u$  цифрового управления. Доступными считаются также значения столбца  $\boldsymbol{\beta}_s = \{\beta_{ps}\}$ , составленного из углов поворота ГД.

**Управление траекторным движением.** Удержание КА землеобзора на ССО выполняется за счет эпизодической коррекции его траекторного движения с помощью КДУ. Пусть спутник массой  $m = 1000$  кг оснащен 2 панелями СБ суммарной площадью 50 кв.м, и нормаль к их рабочей плоскости наиболее близка к направлению на Солнце за счет регулярного одноосного вращения. Спутник движется на высоте  $H = 600$  км по ССО с наклоном  $i = 97,8$  град. Условная дата 22.01.2015 и время прохождения восходящего узла 08:00:00 по Гринвичу над земной поверхностью с геодезической долготой  $L_\Omega = 90$  град, долгота восходящего узла (ДВУ)  $\Omega = 331,36$  град.

Было выполнено численное исследование влияния всех внешних возмущающих сил (без включения КДУ) для такого спутника на ССО с указанными параметрами [3] и установлено, что наибольшее влияние оказывают сопротивление земной атмосферы, гравитация Солнца и силы солнечного давления. При этом суточное изменение радиус-вектора ССО равно 13,5 м, за 10 суток полёта уменьшение высоты орбиты составит более 100 м. Для компенсации монотонного снижения высоты орбиты из-за сопротивления земной атмосферы предложено выполнять два сеанса включения КДУ при каждой орбитальной коррекции. Начало первого сеанса должно происходить в момент времени,

когда высота орбиты снизится на 75 м, и при таком сеансе намеренно обеспечивается увеличение высоты орбиты на 150 м, т.е. на 75 м больше номинального значения. Далее через некоторое время выполняется второй сеанс включения КДУ с таким расчетом, чтобы при его завершении достигалась скорость поступательного движения КА по круговой орбите с увеличенной на 75 м высотой относительно номинала. В разработанном методе одновременно корректируются как высота, так и ДВУ ССО: снижение высоты орбиты за счёт атмосферного торможения приводит к смещению ДВУ на запад, а достижение орбиты высотой на 75 м больше номинального значения приводит к смещению ДВУ на восток.

**Широтно-импульсное управление КДУ и МП.** В ССК определяется вектор-функция  $\mathbf{R}^p(t)$  потребного импульса (pulse) вектора корректирующей тяги, которая должна быть реализована КДУ на основе ЭРД. Естественно возникает задача: каким же образом можно создать вектор потребного импульса корректирующей тяги  $\mathbf{R}^p(t)$  произвольного направления в ССК, если орты  $\mathbf{e}_p$  осей сопел ЭРД фиксированы в ССК и каждый ЭРД может находиться только в двух состояниях – включен (тяга  $p_p(t) = P^m$ ) либо выключен (тяга  $p_p(t) = 0$ ). Для её решения применяется ШИМ тяги всех 8 ЭРД и обеспечивается выполнение заданных значений вектора  $\mathbf{R}^p(t)$  в моменты времени  $t = t_r = r T_u^e$ . Вычисляются орты  $\mathbf{r}_p$  векторов  $\rho_p$ , и при обозначениях  $\boldsymbol{\tau}_r = \{\tau_{pr}\}$ ;  $\mathbf{D}^e = \{[\mathbf{e}_p], [\mathbf{r}_p \times \mathbf{e}_p]\}$ ;  $\tilde{\mathbf{r}}^p = \mathbf{R}^p / P^m$ ;  $\tilde{\mathbf{m}}^p = \mathbf{M}^p / (P^m \rho)$ ;  $\mathbf{t}^p = \{\tilde{\mathbf{r}}^p, \tilde{\mathbf{m}}^p\}$ , где  $\mathbf{R}^p$  и  $\mathbf{M}^p$  являются заданными в ССК импульсами векторов сил  $\mathbf{R}^e$  и моментов  $\mathbf{M}^e$  КДУ, проблема заключается в решении уравнения  $\mathbf{D}^e \boldsymbol{\tau}_r = \mathbf{t}^p$  для  $\boldsymbol{\tau}_r \in R_+^8$ ,  $\mathbf{t}^p \in R^6$  при условии  $0 \leq \tau_{pr} \leq T_u^e \quad \forall p = 1 \div 8$  относительно компонентов столбца  $\boldsymbol{\tau}_r = \{\tau_{pr}\}$ , когда заданы матрица  $\mathbf{D}^e$  и столбец  $\mathbf{t}^p \in R^6$ . При псевдообратной матрице  $(\mathbf{D}^e)^\# \equiv (\mathbf{D}^e)^t (\mathbf{D}^e \mathbf{D}^e)^{-1}$  закон распределения длительностей  $\tau_{pr}$  тяги 8 ЭРД на каждом полуинтервале времени  $t \in [t_r, t_{r+1})$  с периодом  $T_u^e$  имеет явную алгоритмическую форму [2-4].

Моделирование работы КДУ выполнено при номинальной тяге каждого ЭРД  $P^m = 83$  мН и периоде ШИМ тяги  $T_u^e = 32$  с. Здесь при каждом из двух сеансов включений КДУ требуется создать импульс вектора силы по оси  $Ox^0$  ОСК с модулем 41 Нс. Каждый такой импульс силы обеспечивается работой КДУ в течение 11 периодов  $T_u^e$  с общей длительностью сеанса 352 с. На рисунках 3-4 показаны вариации высоты

$\delta H(t)$ , ДВУ  $\delta\Omega(t)$  и наклонения  $\delta i(t)$  корректируемой орбиты относительно опорной орбиты при двух сеансах работы КДУ на временных интервалах  $t \in [700, 1052]$  с и  $t \in [2900, 3252]$  с. Уменьшение высоты и смещение траассы на запад отражается значениями вариации  $\delta H(0) = -75$  м на рисунке 3 и вариации  $\delta\Omega(0) = -1.1 \cdot 10^{-6}$  град на рисунке 4. Рисунок 5 представляет временные диаграммы изменения компонентов суммарного вектора тяги КДУ в ССК при выполнении одного сеанса орбитальной коррекции.

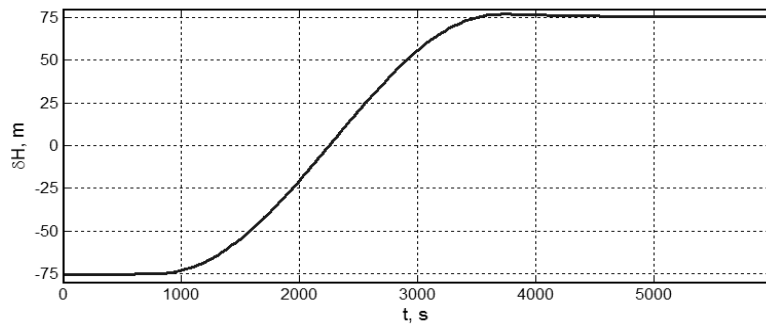


Рисунок 3 – Вариация высоты орбиты КА

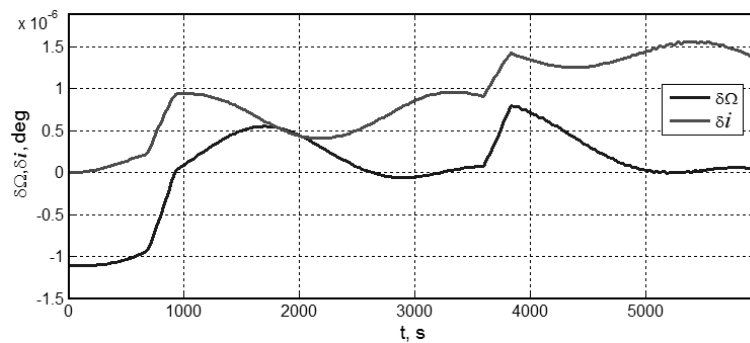


Рисунок 4 – Вариации ДВУ и наклонения орбиты

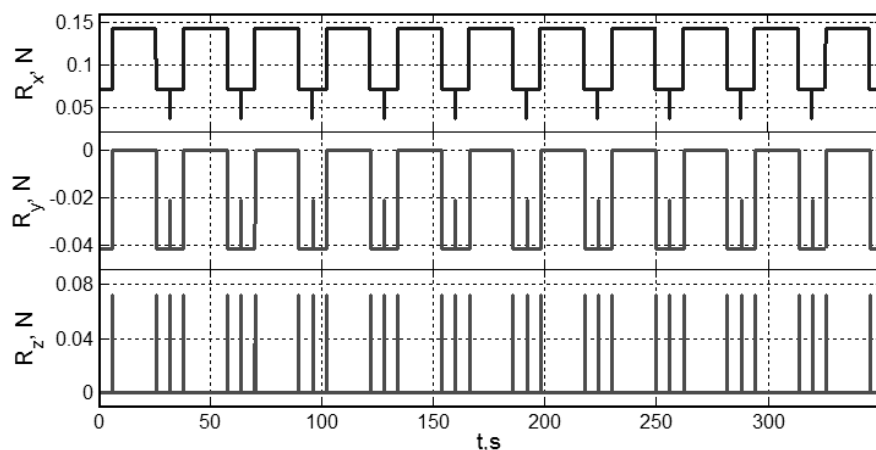


Рисунок 5 – Временные диаграммы ШИМ компонентов вектора тяги КДУ в ССК

Магнитный привод является основным исполнительным органом системы разгрузки кластера ГД от накопленного КМ. Для простоты будем считать, что периоды ШИМ управления КДУ и МП одинаковы, т.е.  $T_u^e = T_u^m$ . Для  $t_r = r T_u^m$  известны значения

потребного уменьшения вектора накопленного КМ  $\mathbf{H}_r^a$  и вектора индукции магнитного поля Земли  $\mathbf{B}(t) \forall t \in [t_r, t_{r+1})$ . Определяется потребный импульс момента  $\mathbf{M}_r^p = -\mathbf{H}_r^a$  разгрузки кластера ГД, вычисляются орты  $\mathbf{b}_r \equiv \mathbf{B}_r / \|\mathbf{B}_r\|$ ,  $\mathbf{m}_r \equiv -\mathbf{H}_r^a / \|\mathbf{H}_r^a\|$  и мера их близости  $\kappa = \langle \mathbf{b}_r, \mathbf{m}_r \rangle$ . Импульс  $\mathbf{M}_r^p$  распределяется между МП и КДУ в форме  $\mathbf{M}_r^p = \mathbf{M}_r^{pm} + \mathbf{M}_r^{pe}$ , где  $\mathbf{M}_r^{pm} = \mathbf{b}_r \times (\mathbf{M}_r^p \times \mathbf{b}_r)$  и  $\mathbf{M}_r^{pe} = \mathbf{b}_r \langle \mathbf{M}_r^p, \mathbf{b}_r \rangle$ . Анализ зависимости вектора  $\mathbf{M}_r^{pm}$  от орта  $\mathbf{b}_r$  и вектора  $\mathbf{M}_r^p = -\mathbf{H}_r^a$  с ортом  $-\mathbf{m}_r$  приводит к рациональности такой логики применения КДУ для разгрузки: если  $|\kappa| \leq \cos(\pi/3) = 1/2$ , то КДУ не включается, так как ресурсов МП достаточно для разгрузки кластера ГД. Здесь вычисляются вектор импульса  $\mathbf{L}_r^{mp} = \{l_{ir}^{mp}\} = \mathbf{b}_r \times \mathbf{M}_r^{pm} / \|\mathbf{B}_r\|$  потребного электромагнитного момента МП, значения  $s_{ir} = \text{sign } l_{ir}^{mp}$ ,  $\tilde{\tau}_{ir} = l_{ir}^{mp} / l^m$  и далее. Если  $\max(\tilde{\tau}_{ir}) = \tilde{\tau}_{ir}^m > T_u^m$ , то формируются значение  $\tau_{ir} = T_u^m \tilde{\tau}_{ir} / \tilde{\tau}_{ir}^m$ , которое вместе со значением  $s_{ir}$  используются при ШИМ компонентов вектора электромагнитного момента МП.

**Алгоритмы фильтрации и цифрового управления кластером ГД.** Измерение углового положения КА выполняется в моменты времени  $t_s = s T_q$  с периодом  $T_q \leq T_u$ . Дискретизация с периодом  $T_q$  непрерывного апериодического звена с передаточной функцией  $W(s) = 1/(1 + T_f s)$  и постоянной времени  $T_f$ , без фиксатора на входе для каждого канала управления при введении нормировки приводит к дискретной передаточной функции  $W_f(z_q) = (1 + b_1^f)/(1 + b_1^f z_q^{-1})$ , где  $b_1^f \equiv -\exp(-T_q/T_f)$  и  $z_q \equiv \exp(s T_q)$  с условием  $W_f(1) = 1$ . Дискретная фильтрация рассогласования по части вектора параметров Эйлера выполняется с периодом  $T_q$  по векторным соотношениям  $\tilde{\mathbf{x}}_{s+1} = \tilde{\mathbf{A}}\tilde{\mathbf{x}}_s + \tilde{\mathbf{B}}\mathbf{e}_s$ ;  $\mathbf{e}_s^f = \tilde{\mathbf{C}}\tilde{\mathbf{x}}_s + \tilde{\mathbf{D}}\mathbf{e}_s$ ,  $s \in \mathbb{N}_0$  с выходным сигналом  $\mathbf{e}_k^f$ , где диагональные матрицы  $\tilde{\mathbf{A}}$ ,  $\tilde{\mathbf{B}}$ ,  $\tilde{\mathbf{C}}$ ,  $\tilde{\mathbf{D}}$  имеют элементы  $\tilde{a}_i = -b_1^f$ ;  $\tilde{b}_i = b_1^f$ ;  $\tilde{c}_i = -(1 + b_1^f)$ ;  $\tilde{d}_i = (1 + b_1^f)$ ,  $b_1^f \equiv -\exp(-T_q/T_f)$ .

В контуре цифрового управления ориентацией КА вектор углового рассогласования  $\boldsymbol{\varepsilon}$  представляется как  $\boldsymbol{\varepsilon} = \delta\boldsymbol{\phi} = \{\delta\phi_i\} = -2\mathbf{e}_0\mathbf{e}$ . Его дискретно измеренные и отфильтрованные значения  $\boldsymbol{\varepsilon}_k^f$ , а также значения  $\dot{\boldsymbol{\omega}}_k^p = \dot{\boldsymbol{\omega}}^p(t_k)$  используются в нелинейном векторном законе цифрового управления  $\mathbf{M}_k^g = \mathbf{M}^g(\dot{\boldsymbol{\omega}}_k^p, \boldsymbol{\varepsilon}_k^f, \boldsymbol{\omega}_k, \mathbf{H}_k)$  кластером ГД, представленного с векторной «рабочей» переменной  $\mathbf{g}$  в рекуррентной форме

$$\mathbf{g}_{k+1} = \mathbf{B}\mathbf{g}_k + \mathbf{C}\boldsymbol{\varepsilon}_k^f; \tilde{\mathbf{m}}_k = \mathbf{K}\mathbf{g}_k + \mathbf{P}\boldsymbol{\varepsilon}_k^f; \mathbf{M}_k^g = \boldsymbol{\omega}_k \times \mathbf{G}_k + \mathbf{J}(\mathbf{C}_{ek}\dot{\boldsymbol{\omega}}_k^p + [\mathbf{C}_{ek}\boldsymbol{\omega}_k^p \times] \boldsymbol{\omega}_k + \tilde{\mathbf{m}}_k), \quad (2)$$

где  $\mathbf{C}_{ek} = \mathbf{C}_e(t_k)$ ,  $\mathbf{G}_k = \mathbf{J}\boldsymbol{\omega}_k + \mathbf{H}_k$  и при  $d_u \equiv 2/T_u$ ,  $a_i \equiv (d_u\tau_{1i} - 1)/(d_u\tau_{1i} + 1)$  элементы диагональных матриц  $\mathbf{K} = \text{diag}\{k_i\}$  и  $\mathbf{B}$ ,  $\mathbf{C}$ ,  $\mathbf{P}$  вычисляются по явным соотношениям  $b_i \equiv (d_u\tau_{2i} - 1)/(d_u\tau_{2i} + 1)$ ;  $p_i \equiv (1 - b_i)/(1 - a_i)$ ;  $c_i \equiv p_i(b_i - a_i)$  с назначаемыми параметрами  $\tau_{1i}$ ,  $\tau_{2i}$  и  $k_i$ . Далее вектор  $\mathbf{M}_k^g$  с помощью функции  $f_p(\boldsymbol{\beta}) = 0$  явного распределения КМ между 4 ГД «пересчитывается» в вектор командных скоростей гиринов  $\mathbf{u}_k^g$ , компоненты которого фиксируются на полуинтервале управления с периодом  $T_u$ .

**Динамика СУД спутника землеобзора.** Пусть для КА на указанной ССО поступило задание на съёмку двух российских столиц [4], которое отражено в законе углового наведения КА, представленного  $\forall t \in [820, 1000)$  с на рисунке 6. Пусть при  $t_* = 820$  с вектор накопленного КМ кластера ГД  $\mathbf{H}(t_*) = \{2,5; 0,4; 0,8\}$  Нмс и при значениях  $I^m = 50 \text{ Ам}^2$  и  $T_u^m = 32$  с начинается его разгрузка с помощью ШИМ управления только МП, так как здесь  $|\kappa(t)| \leq 1/2 \forall t \in [820, 1000)$  с. Компоненты вектора момента МП при разгрузке кластера ГД приведены на рисунке 7. При погрешностях БИНС с СКО  $\sigma^m = 3$  угл. сек и дискретной фильтрации вектора рассогласования  $\boldsymbol{\varepsilon}_s$  с периодом  $T_q = 0.125$  с ошибки стабилизации углового движения КА при цифровом управлении кластером ГД с периодом  $T_u = 0.25$  с представлены на рисунке 8.

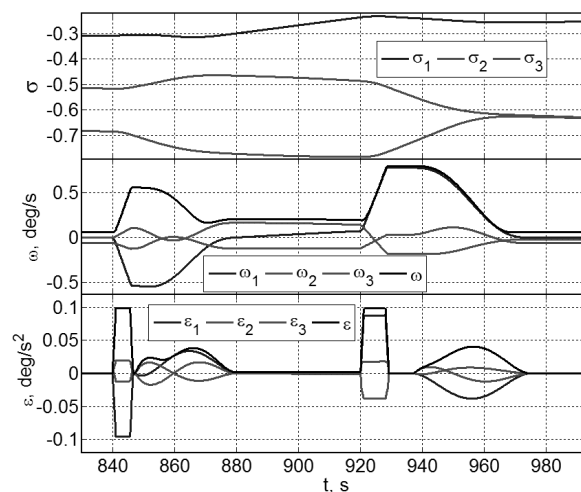


Рисунок 6 – Закон углового наведения КА землеобзора



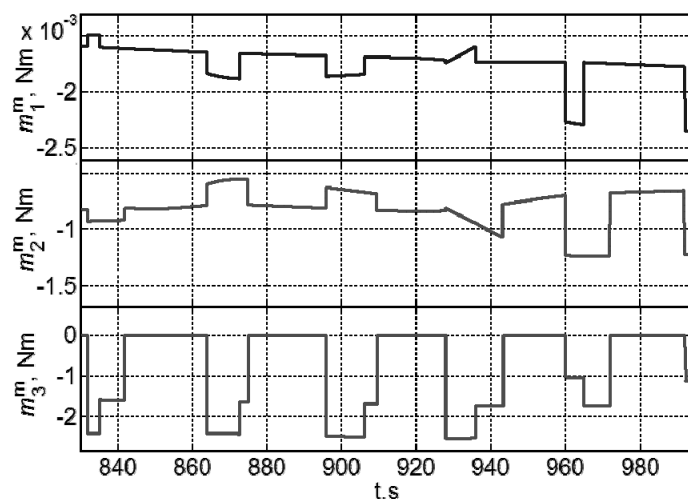


Рисунок 7 – Компоненты вектора момента МП при разгрузке кластера ГД

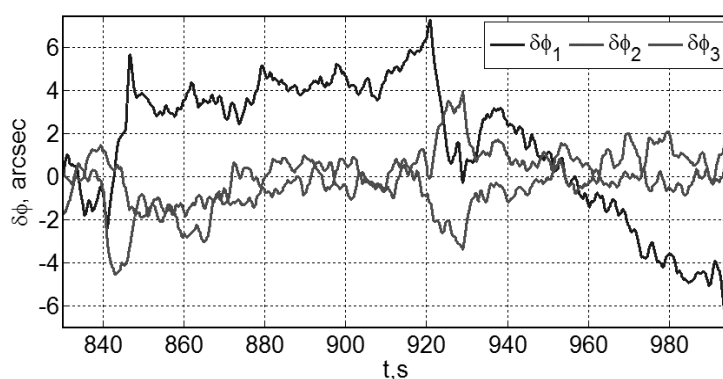


Рисунок 8 – Ошибки стабилизации углового движения КА землеобзора

Работа поддержана РФФИ (грант 14-08-01091) и Отделением ЭММПУ РАН (программа фундаментальных исследований № 13).

### Библиографический список

1. Somov, Ye.I. Methods and software for research and design of the spacecraft robust fault tolerant control systems // Automatic Control in Aerospace. Elsevier Science. – 2002. – P. 28 -40.
2. Somov, Ye., Butyrin, S., Somov, S. Digital and pulse-width attitude control of land-survey mini-satellite // Proceedings of 22nd Saint Petersburg International Conference on Integrated Navigation Systems. – 2015. – P. 110–115.
3. Сомов, С.Е. Широтно-импульсное управление электрореактивными двигателями при коррекции орбитального движения спутника / С.Е. Сомов [Текст] // Известия Самарского научного центра РАН. – 2015. – Том 17, № 6(3). – С. 713-720.
4. Somov, Ye., Butyrin, S., Somov, S. Adaptive-robust attitude & orbit control of a small satellite motion // Proceedings of 23rd Saint Petersburg International Conference on Integrated Navigation Systems. – 2016. – P. 349–355.